

Fusion (potentiell) verdeckter Geometrie

- Beobachtung:
 - Wenn wir **wüssten**, daß eine Menge von Objekten im aktuellen Frame verdeckt ist, dann könnten wir dies durch genau **ein** Occlusion-Query verifizieren
 - Objekte, die viele Frames verdeckt waren, sind sehr wahrscheinlich auch im aktuellen Frame verdeckt (*temporal coherence of visibility*)
- Idee:
 - Erfinde ein "**Orakel**", das für eine gegebene Menge von Objekten mit großer Wahrscheinlichkeit vorhersagen kann, ob die coherence of visibility erfüllt ist
 - Falls diese Wahrsch.keit hoch genug, teste diese Menge durch 1 Query:


```
glBeginQuery( GL_SAMPLES_PASSED, q );
  rendere BVs der Menge von Objekten ...
glEndQuery( GL_SAMPLES_PASSED );
glGetQueryObjectiv( q, GL_QUERY_RESULT, *samples );
```

Dies nennen wir im folgenden **Multiquery!**

G. Zachmann Computer-Graphik 2 – SS 10 Real-time rendering 64

Definition: Visibility-Persistenz

$$p(t) = \frac{I(t+1)}{I(t)}$$

wobei $I(t)$ = Anzahl Objekte, die in den vergangenen t Frames ständig verdeckt waren

- Interpretation: $p(t)$ = "Wahrscheinlichkeit", daß ein Objekt, das t Frames lang verdeckt war, auch im kommenden Frame verdeckt sein wird
- Beobachtung: ist erstaunlich unabhängig von Obj und Szene
- Folge: läßt sich gut approximieren durch analytische Funktion!

$$p(t) \approx 0.99 - 0.7e^{-t}$$

PROBABILITY OF COHERENCE

Legend: FITTED (red), VIENNA (green), POWERPLANT (blue)

Y-axis: 0.2, 0.3, 0.4, 0.5, 0.6, 0.7, 0.8, 0.9, 1.0

X-axis: 0, 10, 20, 30, 40, 50

FRAMES COHERENT

G. Zachmann Computer-Graphik 2 – SS 10 Real-time rendering 65

- Sei t_O = Anzahl vergangener Frames, die Objekt O verdeckt war
- Definiere für ein Menge M von Objekten ein "Orakel" $i(M)$:= die "Wahrscheinlichkeit", daß **alle** Objekte aus M im aktuellen Frame verdeckt (*invisible*) sein werden (ist nur eine Heuristik!):

$$i(M) = \prod_{O \in M} p(t_O)$$
- Definiere damit
 - Kosten (costs)** eines Occlusion-Multiquery (im Batch):

$$C(M) = 1 + c_1 |M|$$
 - Erwarteter Nutzen (benefit)** eines Multiquery:

$$B(M) = c_2 i(M) \sum_{O \in M} \text{num polygons of } O$$

G. Zachmann Computer-Graphik 2 – SS 10 Real-time rendering 67

- Definiere damit den **erwarteten Wert** eines Multiquery:

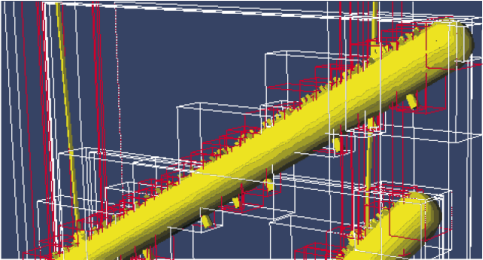
$$V(M) = \frac{B(M)}{C(M)}$$
- Wenn die I-Queue dann zu irgend einem Zeitpunkt voll ist:
 - Sortiere die Objekte O_i in der I-Queue nach $t_O \rightarrow \{O_1, \dots, O_b\}$
 - Suche damit einfach greedy das Maximum

$$\max_{n=1 \dots b} \{V(\{O_1, \dots, O_n\})\}$$
 - Setze eine Multiquery für diese ersten n Objekte aus der I-Queue ab
 - Wiederhole, bis die I-Queue leer ist

G. Zachmann Computer-Graphik 2 – SS 10 Real-time rendering 68

Tighter Bounding Volumes

- Beobachtung: je größer das BV im Verhältnis zum Objekt, desto wahrscheinlicher liefert ein Occlusion-Query ein "*false positive*" (behauptet "visible", ist in Wahrheit aber "invisible")
- Ziel: möglichst enge BVs
- Randbedingungen:
 - BVs müssen sehr schnell zu rendern sein
 - BVs dürfen nicht viel Speicher kosten
- Idee:
 - Zerlege Objekt in einzelne Stücke (Cluster von Polygonen)
 - Lege um jeden Cluster eine BBox (AABB)
 - Verwende als BV des Objektes die Vereinigung der "kleinen" BBoxes

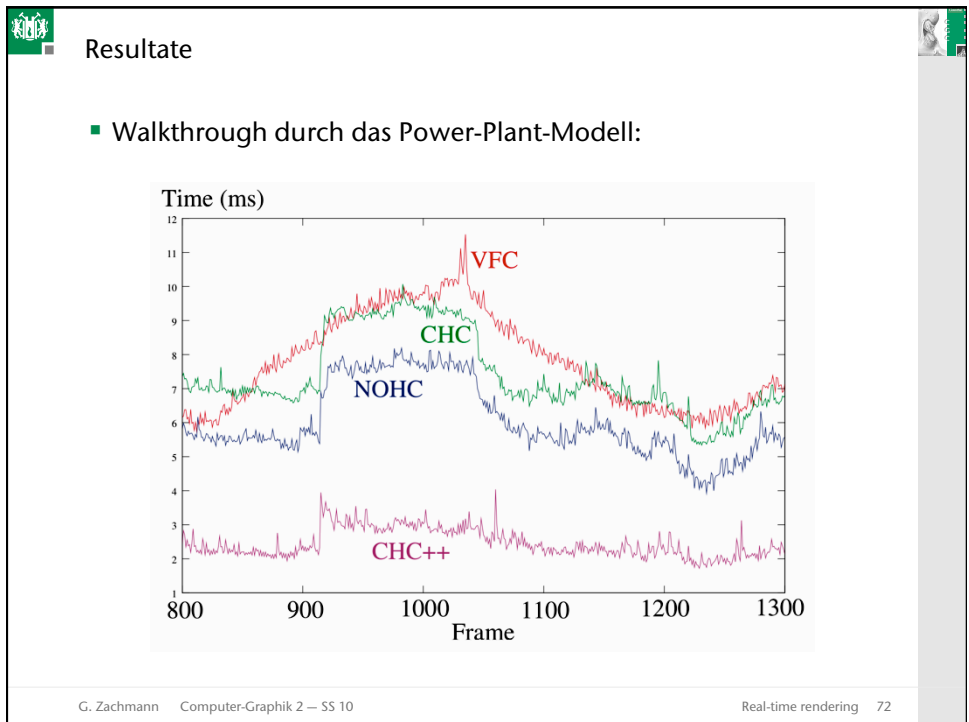
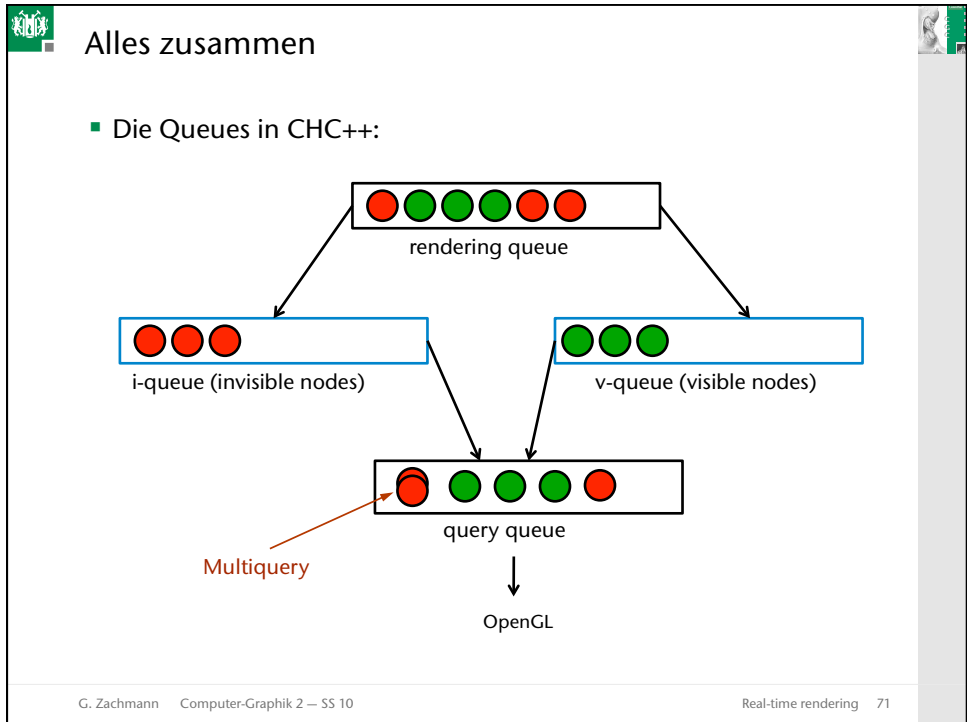


G. Zachmann Computer-Graphik 2 – SS 10 Real-time rendering 69

- Frage: wie klein soll man die "kleinen" AABBs (bzw. die Cluster) machen?
- Beobachtung: je größer die Anzahl der kleinen AABBs, ...
 - ... desto größer die Wahrscheinlichkeit, daß "invisible" korrekt erkannt wird; aber
 - ... desto größer die Oberfläche → längere Rendering-Zeit des daraus resultierenden Occlusion-Queries
- Strategie zur Konstruktion der "engen AABBs":
 - Unterteile die Cluster rekursiv
 - Abbruchkriterium: falls

$$\sum \text{Oberfläche der kleinen AABBs} > \sigma \cdot \text{Oberfläche der großen AABB}$$
 - Parameter σ hängt ab von der Graphikkarte ($\sigma \approx 1.4$ scheint OK)

G. Zachmann Computer-Graphik 2 – SS 10 Real-time rendering 70





**State Changes:
CHC vs. CHC++**

Each color represents
a state change required
by the algorithm

G. Zachmann Computer-Graphik 2 – SS 10 Real-time rendering 73

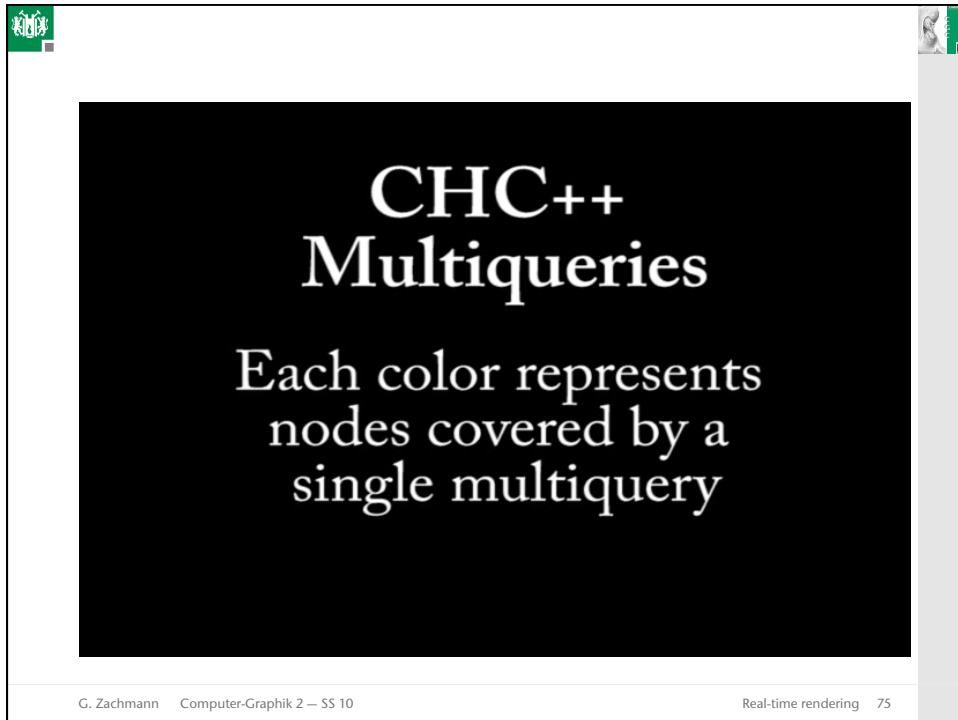
This slide features a black rectangular area with white text. The text is centered and reads "State Changes: CHC vs. CHC++" in a large, bold, serif font. Below this, in a smaller serif font, it says "Each color represents a state change required by the algorithm". The slide is framed by a white border with small green icons in the corners. At the bottom, a white footer contains the text "G. Zachmann Computer-Graphik 2 – SS 10" on the left and "Real-time rendering 73" on the right.



**Powerplant
Walkthrough 2**

G. Zachmann Computer-Graphik 2 – SS 10 Real-time rendering 74

This slide features a black rectangular area with white text. The text is centered and reads "Powerplant Walkthrough 2" in a large, bold, serif font. The slide is framed by a white border with small green icons in the corners. At the bottom, a white footer contains the text "G. Zachmann Computer-Graphik 2 – SS 10" on the left and "Real-time rendering 74" on the right.

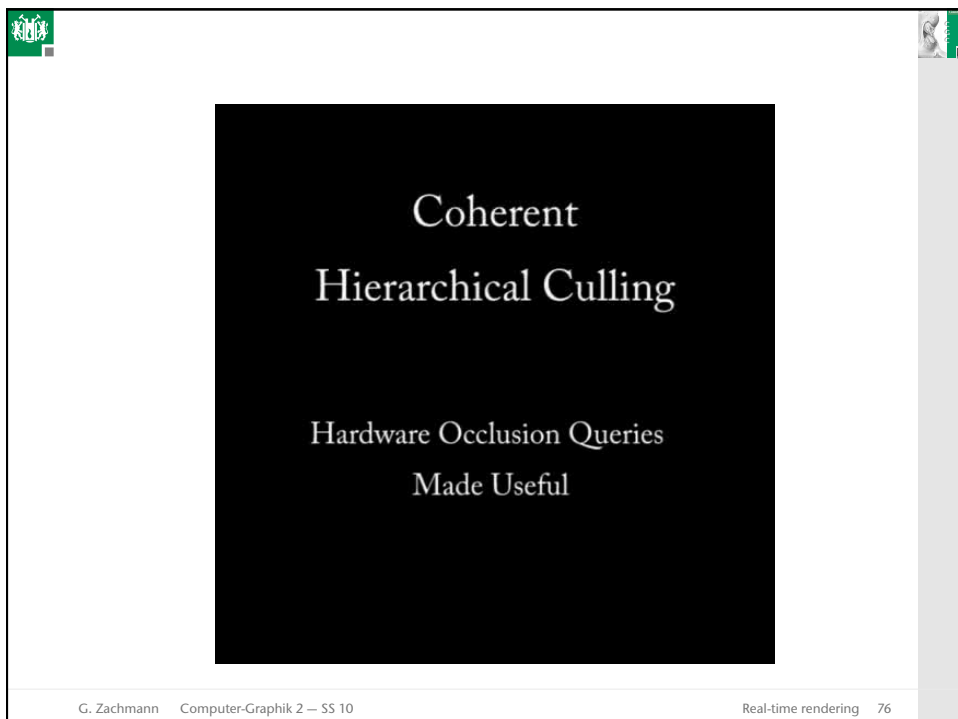


CHC++
Multiqueries

Each color represents
nodes covered by a
single multiquery

G. Zachmann Computer-Graphik 2 – SS 10 Real-time rendering 75

This slide features a black rectangular area with white text. The text is centered and reads 'CHC++ Multiqueries' in a large, bold, serif font. Below this, in a smaller serif font, it says 'Each color represents nodes covered by a single multiquery'. The slide is framed by a white border with small green icons in the corners. At the bottom, a white footer contains the text 'G. Zachmann Computer-Graphik 2 – SS 10 Real-time rendering 75'.



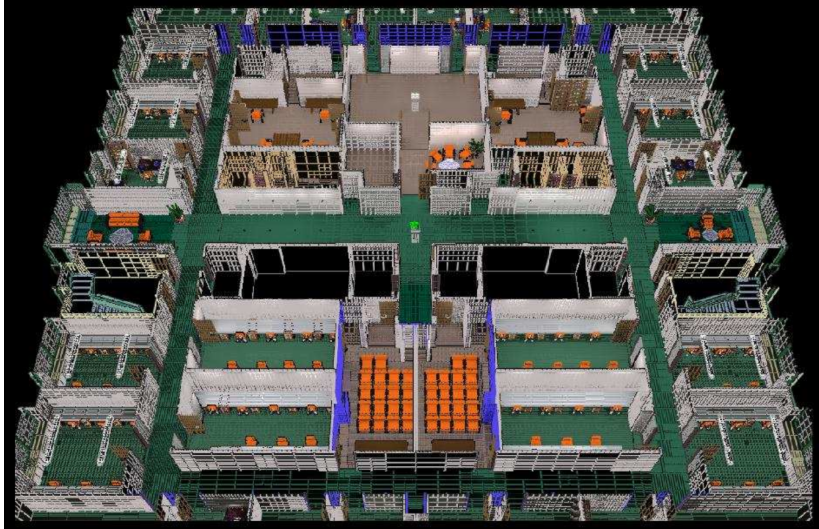
Coherent
Hierarchical Culling

Hardware Occlusion Queries
Made Useful

G. Zachmann Computer-Graphik 2 – SS 10 Real-time rendering 76

This slide features a black rectangular area with white text. The text is centered and reads 'Coherent Hierarchical Culling' in a large, serif font. Below this, in a smaller serif font, it says 'Hardware Occlusion Queries Made Useful'. The slide is framed by a white border with small green icons in the corners. At the bottom, a white footer contains the text 'G. Zachmann Computer-Graphik 2 – SS 10 Real-time rendering 76'.

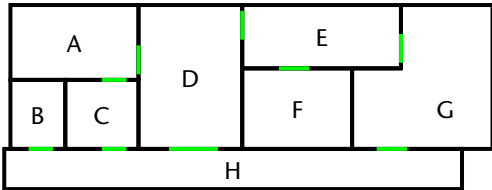
Weiterer Spezialfall: Architekturmodelle



G. Zachmann Computer-Graphik 2 – SS 10 Real-time rendering 77

Zellen und Portale (*Portal Culling*)

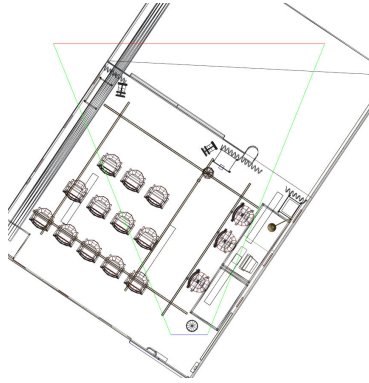
- Szenario: **Walk-through** durch Gebäude und Städte
- Durchsichtige Portale verbinden die Zellen
 - Türen, Fenster, Öffnungen, ...
- Beobachtung: Zellen sehen einander nur durch die Portale



- Welche Zelle sind im PVS enthalten?
 - Die Zelle welche den Viewpoint enthält
 - Und diese Zellen, welche ein Portal zur Ausgangszelle besitzen

G. Zachmann Computer-Graphik 2 – SS 10 Real-time rendering 78

Beispiel-Szene

G. Zachmann Computer-Graphik 2 – SS 10 Real-time rendering 79

Resultat

- Beispiel-Szene:



- Speedup ist stark vom Modell und Viewpoint abhängig
 - Framerate ist 1-10-faches der Framerate ohne Cells-&-Portals-Methode
 - Für typische Viewpoints entfernt die Methode 20% – 50% des Modells

G. Zachmann Computer-Graphik 2 – SS 10 Real-time rendering 87

- Anwendungsgebiete
 - Computerspiele
 - Gebäude
 - Städte
 - Schiffe (innen)
- Nicht geeignet für CAD-Daten
 - Flugzeuge
 - Industrieanlagen
- Nicht geeignet für natürliche Objekte
 - Pflanzen
 - Wälder

G. Zachmann Computer-Graphik 2 – SS 10 Real-time rendering 89

Detail Culling

- Idee: Objekte, die bei der Projektion weniger als N Pixel belegen, werden nicht dargestellt
- Diese Annäherung entfernt auch Teile, die möglicherweise im endgültigen Bild sichtbar wären
- Vorteil: Trade-Off Qualität/Geschwindigkeit

detail culling off

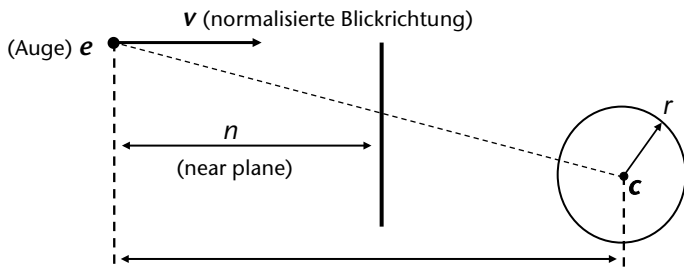
detail culling on

- Besonders geeignet, wenn Kamera in Bewegung (je schneller, desto größere Details können gecullt werden)

G. Zachmann Computer-Graphik 2 – SS 10 Real-time rendering 90

Abschätzung der projizierten Größe eines Objektes

- Schätze Größe des BVs in Screen-Space ab:



$d = \mathbf{v} \cdot (\mathbf{c} - \mathbf{e})$ (Distanz entlang \mathbf{v})
 $\hat{r} = r \cdot \frac{n}{d}$ (Schätzung des projizierten Radius)
 $\pi \hat{r}^2 =$ geschätzte Fläche der projizierten Kugel

G. Zachmann Computer-Graphik 2 – SS 10 Real-time rendering 91